

V-26 支圧強度に対する補強効果の理論的考察

神戸大学工学部 正員 藤井 学

§1. まえがき

無補強コンクリートの支圧強度に関しては従来多くの研究結果が報告されてきたが、補強されたコンクリートの支圧強度に関しては、実験的に日々多く、理論的研究は皆無に近い。本文は先々に報告した無補強コンクリート支圧強度式¹⁾の場合とは同様の手法を用い、補強筋の効果をも含んだ解を求め、その特性と妥当性について検討したものである。

§2. 解析モデルと破壊モード

図-1に示すように、先報¹⁾と同様円柱コンクリート供試体(径2r)を考え、これを支圧板(径2R)の剛体と仮定)と同一の大きさの円筒とともにそれを取巻く円筒とに分け、円筒内に同心円のスパイラル筋を挿入したモデルを考える。本解の基本的考え方とは、まず、図-1の円筒内に内圧を加え、破壊時の内圧 σ_{in} を求め、これを側圧として径2rの円柱に作用させ、すなわち、3軸応力状態での最大鉛直圧 σ_{cv} を求めて、支圧強度 σ_c を求めようとするのである。スパイラル筋(厚さδの薄肉円筒に置換)で補強すれば σ_{cv} は増大し、従って、 σ_c も増大することになる。コンクリート供試体の破壊時には、図-2に示すように、円筒コンクリートは塑性状態になつてひびき仮定する。また、領域IIの外周($r=r_2$)の円周方向ひずみ ϵ_{ct} がコンクリートの引張最終ひずみ ϵ_{ct0} に達したとき、領域IIのコンクリートは剥落し、支圧強度 σ_c をもつてのと仮定する。コンクリート供試体の円周方向ひずみ ϵ_{ct} は、およそ図-2の分布になることと考えると、限界応力状態として次の3つが考えられる。

(a) スパイラル筋が降伏する前にコンクリートの $r=r_2$ での円周方向ひずみが $\epsilon_{ct}=\epsilon_{ct0}$ に達する場合で、しかしIIのコンクリートが剥落直前の状態。

(b) スパイラル筋の降伏が、 $\epsilon_{ct}=\epsilon_{ct0}$ となる前、あるいは同時に生ずる場合。

(c) Iのコンクリートを降伏したスパイラル筋で限界いた状態。(c)の状態は(a), (b)の最終状態である。

最大荷重は、(b)の場合に(c)よりも大きいが差はない。しかし、(a)の場合には、スパイラル筋の巻径 φ_d の大きさによっては(c)よりも大きい場合と小さい場合とが生ずる。

§3. 応力と変位

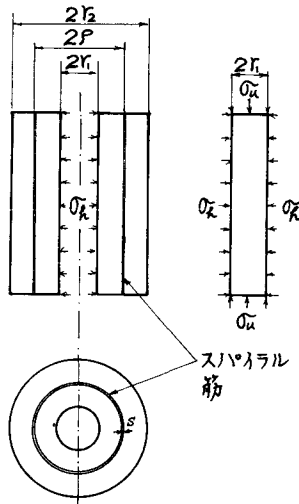


図-1 解析モデル

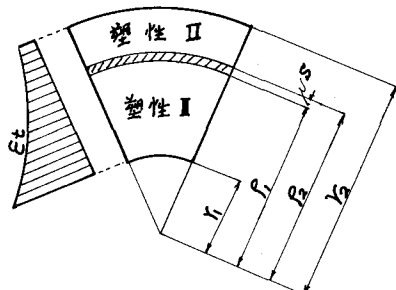


図-2

(1) コンクリートの応力と変位： 図-2 の塑性状態にある I および II の領域のコンクリートの半径方向の応力 σ_r は、光報と同様、(1)式で表わされる。また、半径方向の変位 u_c は、非圧縮性、平面ひずみ状態を仮定すると、(2)式で与えられる。 $\Rightarrow r_2, m_1 = -\rho_e / \sigma_{eo}, \rho_e, \sigma_{eo}$ = コンクリートの圧縮、引張強度。 $C, C' = 積分定数。$

$$\sigma_r = \frac{1}{m_1 - 1} \{ m_1 \sigma_{eo} - C r^{\frac{1-m_1}{m_1}} \} \quad \dots \dots \dots (1) \quad u_c = \frac{C'}{r} \quad \dots \dots \dots (2)$$

(2) スパイクアル筋の応力と変位： 滲内円筒を考えると、力のつりあいより、スパイクアル筋の円周方向応力 σ_s および半径方向変位 u_s は $\sigma_s = \sigma_{sy}$ の場合、それぞれ (3) および (4) 式で与えられる。 $\Rightarrow r_1, E_s, \sigma_{sy}$ = スパイクアル筋の弹性係数、降伏応力である。

$$\sigma_s = \frac{(C_{p_1} - \sigma_{eo}) \rho}{s} \quad \dots \dots \dots (3) \quad u_s = \frac{E_s \cdot r}{s} = \frac{(C_{p_1} - \sigma_{eo}) \cdot \rho \cdot r}{s \cdot E_s} \quad \dots \dots \dots (4)$$

8.4 境界条件、内圧限および支圧強度 σ_u

まず、限界状態 (II) の場合を考える。境界条件は次の 6 つであり、これらを (1) ～ (6) 式用いて示すと、下左のように (5) ～ (10) 式のようにならぶ。

$$r = r_1 \text{ のとき } \sigma_r = \sigma_{eo} : \quad \sigma_{eo} = \frac{1}{m_1 - 1} \{ m_1 \sigma_{eo} - C_1 r_1^{\frac{1-m_1}{m_1}} \} \quad \dots \dots \dots (5)$$

$$r = p_1 \quad " \quad \sigma_r = \sigma_{p_1} : \quad \sigma_{p_1} = \frac{1}{m_1 - 1} \{ m_1 \sigma_{eo} - C_1 p_1^{\frac{1-m_1}{m_1}} \} \quad \dots \dots \dots (6)$$

$$r = p_2 \quad " \quad \sigma_r = \sigma_{p_2} : \quad \sigma_{p_2} = \frac{1}{m_1 - 1} \{ m_1 \sigma_{eo} - C_2 p_2^{\frac{1-m_1}{m_1}} \} \quad \dots \dots \dots (7)$$

$$r = r_2 \quad " \quad \sigma_r = 0 : \quad m_1 \sigma_{eo} - C_2 r_2^{\frac{1-m_1}{m_1}} = 0 \quad \dots \dots \dots (8)$$

$$r = r_2 \quad " \quad \sigma_t = \sigma_{eo} : \quad \frac{C_3}{r_2^2} = \sigma_{eo} \quad \dots \dots \dots (9)$$

$$r = p \quad " \quad u_c = u_s : \quad \frac{C_4}{p^2} = \frac{(C_{p_1} - \sigma_{eo}) s^2}{s \cdot E_s} \quad \dots \dots \dots (10)$$

以上の (5) ～ (10) 式の 5 つの式より、 $C_1, C_2, C_3, C_4, \sigma_{eo}$ を消去して、 σ_{eo} を求め、これを (5) 式に代入すると内圧限が求められる。 $p_1 = p_2 = p$ とおいた最終式は (11) 式のようになる。

$$\sigma_{eo} = \frac{-m_1 \sigma_{eo}}{m_1 - 1} \left\{ \left(\frac{p}{r_1} \right)^{\frac{m_1-1}{m_1}} - 1 + \frac{m_1 - 1}{m_1} \frac{s \cdot E_s \cdot \sigma_{eo} \left(\frac{p}{r_1} \right)^{\frac{m_1-1}{m_1}}}{(-\sigma_{eo})} \cdot p^{-3} r_2^2 \right\} \quad (11)$$

(b) の状態は、(3) における $\sigma_s = \sigma_{sy}$ の場合である。すなわち、(3), (4), (9), (10) 式より、 $\sigma_s = E_s \sigma_{eo} (p/r)^2 = \sigma_{sy}$ とすればよい。(c) の状態では、コンクリートの外径は $2p$ と仮定するので、(b) の状態に対する式において $r_2 = p$ とおけばよい。

以上のように、各限界状態に対する内圧 σ_{eo} が求められたので、これを側圧として受ける円柱の最大軸圧、すなわち 支圧強度 σ_u は、光報と同様モール説を用いて、次のように求められる。

$$(a) の限界状態 : \frac{\sigma_u}{\sigma_e} = \frac{m_2}{m_1 - 1} \left\{ \left(\frac{r_2}{r_1} \right)^{\frac{m_1-1}{m_1}} - 1 + \frac{m_1 - 1}{m_1} \left(-\frac{1}{\sigma_{eo}} \right) \cdot s \cdot E_s \cdot \sigma_{eo} \left(\frac{p}{r_1} \right)^{\frac{m_1-1}{m_1}} \cdot p^{-3} r_2^2 \right\} + 1 \quad \dots \dots \dots (12)$$

$$(b) の限界状態 : \frac{\sigma_u}{\sigma_e} = \frac{m_2}{m_1 - 1} \left\{ \left(\frac{r_2}{r_1} \right)^{\frac{m_1-1}{m_1}} - 1 + \frac{m_1 - 1}{m_1} \left(-\frac{1}{\sigma_{eo}} \right) \cdot \frac{s}{p} \cdot \sigma_{sy} \left(\frac{p}{r_1} \right)^{\frac{m_1-1}{m_1}} \right\} + 1 \quad \dots \dots \dots (13)$$

$$(c) の限界状態 : \frac{\sigma_u}{\sigma_e} = \frac{m_2}{m_1 - 1} \left\{ \left(\frac{p}{r_1} \right)^{\frac{m_1-1}{m_1}} - 1 + \frac{m_1 - 1}{m_1} \left(-\frac{1}{\sigma_{eo}} \right) \cdot \frac{s}{p} \cdot \sigma_{sy} \left(\frac{p}{r_1} \right)^{\frac{m_1-1}{m_1}} \right\} + 1 \quad \dots \dots \dots (14)$$

$$\text{無筋の場合} : \frac{\sigma_u}{\sigma_e} = \frac{m_2}{m_1 - 1} \left\{ \left(\frac{p}{r_1} \right)^{\frac{m_1-1}{m_1}} - 1 \right\} + 1 \quad \dots \dots \dots (15)$$

いま、簡単のため $m_1 = m_2$ (m_2 : モール包絡線の勾配) に與する保藏⁽⁴⁾)、 $m_1 / (m_1 - 1) = (m_1 - 1) / m_1 = 1$ とおいて、(12) ～ (15) 式の近似化を行なうと、それとく、(12)' ～ (15)' 式となる。

$$\frac{\sigma_u}{\sigma_e} = r_2/r_1 + (-1/\sigma_{eo}) E_s \sigma_{eo} (r_2/p)^2 (\sigma_{sy}) \quad \dots \dots \dots (12)'$$

$$\frac{\sigma_u}{\sigma_e} = r_2/r_1 + (-1/\sigma_{eo}) \sigma_{sy} (s/p) \quad \dots \dots \dots (13)'$$

$$\frac{\sigma_u}{\sigma_e} = p/r_1 + (-1/\sigma_{eo}) \sigma_{sy} (s/p) \quad \dots \dots \dots (14)'$$

$$\frac{\sigma_u}{\sigma_e} = r_2/r_1 \quad \dots \dots \dots (15)'$$

§5 支圧強度式の妥当性の検討

以上、破壊モードを設定し、コンクリートの非圧縮性、平面ひずみ状態などを仮定して、補強効果も含んだ支圧強度式を説明した。しかし、これらの仮定が妥当であるかどうかについては実験的検討が必要である。とりわけ、実用式として価値を有するためには次のようないくつかの検討が必要である。

(1) 支圧板の大きさ($2P$)とラセン筋の巻径($2P$)とが差し、ラセン筋の外側コンクリートが剥落した(C)の状態では、ラセン鉄筋横幅の最大荷重を $\gamma_1 = \gamma$ とすれば、本式と理屈慣用のラセン鉄筋横幅の破壊荷重とのような関係はあるが、すなわち、ある一つの特異なケースに付けて本式は的はずれでないかとどうかの検討。

(2) 本式から、ラセン筋の配置範囲は決して広くない。こゆきどのようにならべて本式の検討。

(3) 方式によれば、 $\gamma_1 = \gamma$ とするのが補強効果が最大であるが、必ず実験では、ラセン筋の巻径が支圧板の大きさに近い場合はかえって破壊荷重が減少しているが、本式の修正法の検討。

(4) コンクリートの最終ひずみ時の検討。

(5) 本解では、ラセン筋位置でのコンクリートとラセン筋とは同一ひずみを生ずると仮定しているが、ラセン筋のめり込みによる影響の検討。

大体以上であるが、上記のうち、(1)については簡単に検討でき、(2)以下の問題はかなり困難な問題であるが、現在までの実験結果に即して検討を試してみたい。

1. ラセン鉄筋柱式における妥当性

上記(1)の内訳に廻し、例えは、土木学会標準示方書による短柱式と比較してみる。軸方向筋をいま共通すると、許容中心軸方向荷重は、 $P_u = \frac{1}{3} (0.85 A_c f'_c + 2.5 \gamma_1 A_s f_y)$ (16)

(16)式との比較対象式は、(C)の状態に対するもので、いま簡略式を用いるとのとすると、(4)'式である。 $2\gamma_1 = 2\gamma$ であるから、こゆき(4)'式に用いると、破壊荷重 P_u は、既局(17)式となる。

$$P_u = A_c f'_c + \frac{m_1}{2} \gamma_1 A_s f_y \quad (17)$$

m_1 の値は、一般的のコンクリートの場合、 $m_1 = \bar{\alpha}_c / (-\beta_0) = 8 \sim 14$ であるが、いま $m_1 = 10$ とすると、 $\gamma_1 A_s$ の係数 $m_1/2 = 10/2 = 5$ となる。こゆき(16)式と比較すると約2倍となってい。ホーアン筋の係数によって変化するとのと思われるが、 $\gamma_1 A_s$ の係数はさらに検討される必要がある。

2. ラセン筋の配置範囲の検討

許容応力設計法では、補強筋の配置範囲は割裂応力分布より決定しうるが、本解では決定できない。支圧板直下に生成される円錐コーンの押しづかみに対する補強すむといふ考え方に対しては、補強範囲はコーンの先端まで伸びてよいのではないかと推察せざる。このような仮定のもとに実験的検討を実施しているが、実験結果の一例を図-3に示す。同図は、無筋コンクリート供試体に対する補強コンクリート供試体の破壊荷重(これを補強効果と定義して表わす)とラセン筋($\phi 4.2$)の配置範囲(載荷筋からの距離 l)との関係を示す。供試体は円柱で $\phi 20 \times 400\text{cm}$, $\bar{\alpha}_c = 250 \text{kg/cm}^2$, ラセン巻径 $2P = 13\text{cm}$, ヒンジチネル $\phi = 2.75\text{cm}$, 支圧板直下 $2P = 7.5\text{cm}$ で一定である。

図-3より、配置範囲 l の値が小さい場合には l が増大すると補強効果 γ も増大するが、 l が約 12cm 以上では $\gamma = 1.33$ と一定値となり、これ以上補強しても効果が $\gamma = 1.33$ で意味しない。

左の実験¹⁾によると、蒸成コンクリートの円錐コーンの高さ l' は、およそ $l'=3r_1$ となつてゐる。本実験での r_1 の他は $2r_1=7.5\text{cm}$ であり、 $l=11.25\text{cm}$ となる。すなはち、 $l \neq l'$ にとつておればよいことを図-3は示してゐるが、さうした実験資料が必要である。

なお、建築学会PC規準での許容安全係数によると、その補強範囲は、載荷端から $x=3.2\sim14.2\text{cm}$ と算出され、上記値とは一致してゐるのは興味深い。

3. 補強効果の実験値との比較

前記(3)の問題を主張に換算するため、補強効果を実験値と比較してみる。簡略式による補強効果 α は(18)～(21)式より、次のようになる。

$$(a) \text{の状態: } \alpha = 1 + \left(-\frac{1}{\rho_{eo}}\right) E_s \varepsilon_{eo} \left(\frac{s}{r_2}\right) \left(\frac{l}{r_1}\right)^2 \quad \cdots (18)$$

$$(b) \text{の状態: } \alpha = 1 + \left(-\delta_{sy}/\rho_{eo}\right) \cdot \left(\frac{s}{r_2}\right) \quad \cdots (19)$$

$$(c) \text{の状態: } \alpha = \frac{s}{r_2} + \left(-\delta_{sy}/\rho_{eo}\right) \left(\frac{s}{r_2}\right) \quad \cdots (20)$$

ラセン筋は中4.2 ($\sigma_{sy}=2400\text{kg/cm}^2$)、 $t=2.75\text{cm}$ 、 $l=10\text{cm}$ 、 $2r_1=7.5\text{cm}$ で、 $\rho_e=224\text{g/cm}^2$ 、 $\rho_{eo}=-20.0\text{g/cm}^2$ である。 $\varepsilon_{eo}=200 \times 10^{-6}$ と仮定すると、以上の式は(18)～(20)式に用ひると次のようになる。

$$\alpha = 1 + 0.753 \left[\frac{1}{\left(\frac{s}{r_2}\right)^2} \right] \quad \cdots (18), \quad \alpha = 1.604 \quad \cdots (19)$$

$\alpha = 0.375 \left(\frac{s}{r_1}\right) + 0.604 \quad \cdots (20)$ これら3つの式を追跡したものが、図-4のA, B, C, D, Eの鎖線で示すので、●印は実験値である。

実験値が既知ないので全般的な比較はできないが、 $r_1=l$ の場合($2P=7.5\text{cm}$, $2P=8.4\text{cm}$)は図-4より、実験値は理論値より非常に小さく、補強効果はほとんど得られていない。これら2種の試験体の破壊後の観察によると図-5に示すようだ、ラセン筋でとりかこまれたコンクリートの先端に円錐コーンが生成されており、ラセン筋内コンクリートがあたかも支圧板の肋柱をもじしており、従つて、ラセン筋径を較小とした支圧板径と考えた方が実際には近いものと考えられる。この場合の式は、 $\alpha = \frac{s}{r_1} \quad \cdots (21)$ となり、理論値を修正すると、図-4の実験(F.C.D.E)のようになる。果して、このような理論線があらゆる場合に妥当であるかについては、今後さらに実験資料の多くの蓄積が必要であり、検討を続けていく予定である。

以上のように、本文は補強効果の基礎理論の域を出るのではないか、今後の研究の手がかりは充分得られたものと考える。

参考文献 1) 藤井 孝、"軽量コンクリートの支圧強度" 材料 Vol. 18, No. 185, 1969. 2

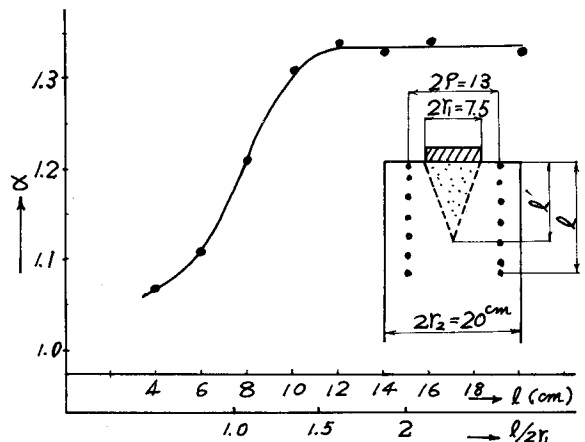


図-3 補強範囲 l と補強効果 α との関係

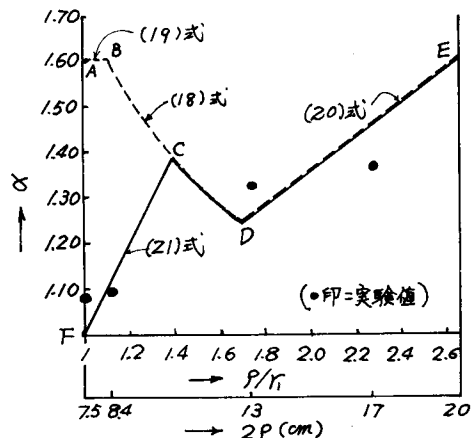


図-4 補強効果 α の実験値との比較

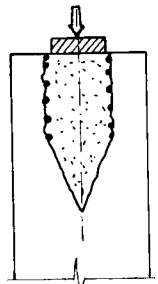


図-5